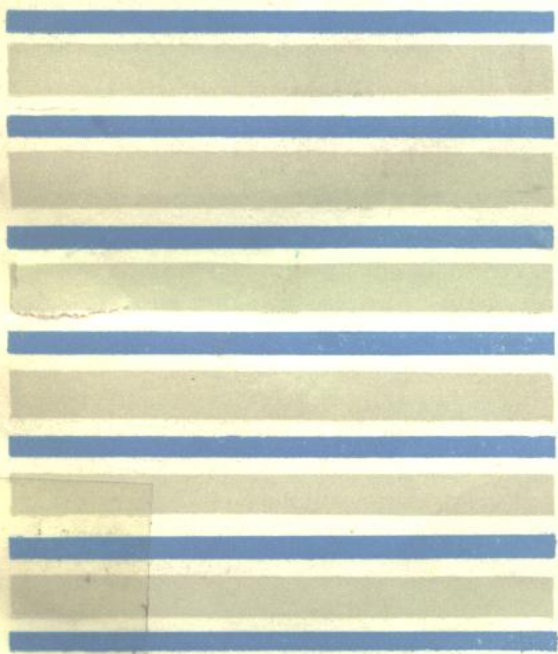


● 杨位钦 顾 岚 编著

时间序列分析与动态数据建模



● 北京工业学院出版社

时间序列分析与动态数据建模

杨位钦 顾 岚 编著

北京工业学院出版社

内 容 简 介

本书首先讨论采样数据的检验和预处理,然后介绍平稳随机过程的基本特征及其模型。以线性 ARMA 模型为主,随后两个重点部分是时间域模型和频率域模型的估计方法,包括极大熵谱估计。在建模的基础上介绍了几种时间序列的预报方法。除单变量模型外,本书也讨论多变量的时域和频域模型及其估计,对趋势性、季节性、混合回归、疏系数、门限回归、自适应、双线性、指数等特定形式的模型也做了不同程度的讨论,各部分都附有可在IBM-PC/XT微机上运行的Fortran程序及各种实例分析。本书可以作为大学生、研究生的教材和有关科技人员的参考书。

本书经兵器工业部第一教材编审委员会自动控制编审小组审定并推荐作为部统编教材。

时间序列分析与动态数据建模

杨位钦 顾 岚 编著

北京工业学院出版社出版
新华书店北京发行所发行 各地新华书店经营
通县向阳印刷厂印刷

850×1168毫米 32开本 21.25印张530千字
1986年12月第一版 1986年12月第一次印刷
印数:1—4,000册
统一书号:15434·36 定价:3.55元

前 言

对生产和科学研究等过程中的某一个变量或一组变量 $x(t)$ 进行观察测量,在一系列时刻 t_1, t_2, \dots, t_n (t 为自变量且 $t_1 < t_2 < \dots < t_n$)得到的离散的有序数集合 $x(t_1), x(t_2), \dots, x(t_i), \dots, x(t_n)$ 称为离散数字时间序列(本书只讨论离散情况,简称为时间序列)。在实际问题中,自变量 t 除代表时间外,也可具有各种不同的物理意义,例如代表长度、温度、速度或其它单调递增地取值的物理量。

气象上的月降水量序列,水文上的河流流量序列,海洋上的海浪序列,天文上的太阳黑子序列,地球物理上的地震波序列,医学上的脑电波序列,机械系统的振动序列,雷达系统对活动目标的跟踪量测序列,化工反应系统的输入输出函数序列,自然界某种生物总数的消长序列,商业经济方面的产值、销售额的序列等等都是时间序列的具体例子。

用来分析各种相依有序的离散数据集合的整个方法称为时间序列分析。一般说来,时间序列很难用一个完全确定的函数或函数组给出来,它们大都具有统计规律性,可以通过概率分布函数或函数组对它们取值的规律性作统计描述,这种类型的时间序列称为随机的。本书主要讨论时间序列的统计分析和模型构造问题。

在生产、科研、社会生活和国防建设中,时间序列分析有着广泛的实际应用,其中主要包括:

1. 分析时间序列的统计规律性,推断产生时间序列的物理系统的性质,找出它的物理规律。
2. 根据对时间序列统计规律性的分析,构造拟合它的最佳

数学模型，浓缩时间序列的信息，简化对时间序列的表示。

3. 利用拟合的数学模型预报时间序列未来的可能取值，给出预报结果的精度分析。

4. 根据拟合的数学模型模拟出时间序列，用于分析和优化处理。

时间序列分析属于统计学科的分支，近十多年来的发展很活跃，原有的方法有很多新进展，本书在介绍时序分析的基本原理和方法的时候注意具体应用，为便于读者进行时序分析和建模的实践，在附录中提供了能在IBM-PC/XT微机上使用的FORTRAN程序，书中的计算例子除某些引用的结果外都是按照这些程序进行处理的。应当说明，虽然提供的程序具有一定的实用性，但在编写上并非都是最优的。

本书的编写得到了北京工业学院张志方教授的热情鼓励和支持，并承蒙中国科学院应用数学所陈兆国副研究员主审，提出了宝贵的意见，我们在此表示深切的谢意。

编者

一九八六年三月

目 录

前言

第一章 采样数据的检验和预处理	(1)
1.1 采样间隔和频率混叠.....	(1)
1.2 均值、方差和概率直方图.....	(7)
1.3 随机数据的正态性检验.....	(14)
1.4 随机数据的独立性检验.....	(21)
1.5 非平稳趋势的检验.....	(22)
1.6 剔点处理.....	(27)
1.7 提取趋势项.....	(29)
1.8 随机数据的周期性检验.....	(33)
第二章 平稳随机过程及其模型	(37)
2.1 平稳随机过程.....	(37)
2.2 自协方差和自相关函数.....	(39)
2.3 典型离散参数模型.....	(43)
1. 纯随机过程—白噪声 2. 一阶自回归过程 3. 二阶自回归过程 4. n 阶自回归过程 5. 滑动平均过程 6. 自回归滑动平均过程, 格林函数和逆函数	
2.4 平稳随机过程的频率域表示.....	(67)
1. 频谱分析的基本概念 2. 连续过程的功率谱和自协方差函数的关系 3. 离散过程的功率谱和自协方差函数的关系 4. 基本线性模型的功率谱 5. 平稳过程的谱展式	
第三章 时间域模型的估计	(90)
3.1 自协方差和自相关函数的估计.....	(90)
1. 两种估计方法 2. 关于协方差和自相关估计的巴特利(Bartlett)公式	
3.2 模型参数的相关矩估计.....	(99)

	1. AR模型参数的矩估计	2. MA模型参数的矩估计	
	3. ARMA模型参数的矩估计		
3.3	模型参数的最小二乘估计 (LS估计).....		(105)
	1. 最小二乘法	2. AR模型参数的LS估计	
	3. ARMA模型参数的LS估计		
3.4	模型参数的极大似然估计 (ML估计).....		(117)
	1. 极大似然估计	2. AR、MA和ARMA模型参数的ML估计	
3.5	模型阶数的确定.....		(124)
	1. 残差方差图	2. 偏相关函数和模型	3. F检验
	用于模型定阶	4. FPE,AIC,BIC准则	
3.6	时间序列建模的基本步骤.....		(146)
	1. 波克斯-詹金斯(<i>Box-Jenkins</i>)方法	2. 潘迪特-吴(<i>Pandit-Wu</i>)方法	3. 长自回归白噪声化建模方法
	4. 参数初始估计的逆函数法		
第四章	周期图与加窗谱估计		(162)
4.1	隐周期的估计.....		(162)
	1. 周期图分析	2. 周期图的样本统计特性	3. 周期图的峰值检验
4.2	功率谱密度的周期图估计.....		(174)
	1. 修正周期图与功率谱估计	2. 样本周期图的方差	
4.3	功率谱估计的两种基本方法.....		(183)
4.4	窗函数.....		(195)
	1. 窗函数与谱的分辨力和泄漏	2. 几种常用的窗函数	
4.5	富氏变换的细化与高分辨力谱分析.....		(220)
第五章	极大熵谱估计		(225)
5.1	谱熵和极大熵准则.....		(225)
	1. 问题的提出	2. 高斯过程的熵和熵率	3. 功率谱和熵率的关系
5.2	极大熵准则的谱估计.....		(232)
5.3	极大熵谱估计的伯格 (<i>Burg</i>) 算法.....		(236)
5.4	极大熵谱估计的LS-LUD算法.....		(246)
第六章	时间序列的预报		(258)
6.1	平稳线性最小方差预报的概念.....		(258)
	1. 定义和几何直观解释	2. 最小方差预报的性质	

6.2	AR和MA序列的预报方法	(265)
6.3	ARMA序列的预报方法	(268)
6.4	时间序列的新息实时预报	(272)
	1. 新息预报的原理 2. 新息定理及实时预报的渐近性质	
第七章	多变量时间序列	(280)
7.1	多变量平稳过程的相关和谱特性	(281)
	1. 双变量过程的相关特性 2. 双变量过程的谱特性	
	3. 双变量过程举例 4. 一般多变量过程	
7.2	具有线性关系的多变量过程谱分析	(294)
	1. 严格线性关系的情况 2. 附加噪声时的线性关系	
7.3	互谱特性和传递函数的估计	(305)
7.4	多变量过程的时间域模型	(315)
	1. 多变量过程的矩阵差分方程表示 2. 多变量AR模型的参数估计 3. 多变量AR模型的预报和定阶	
第八章	一些特定形式的模型	(339)
8.1	趋势性和季节性模型	(339)
	1. ARIMA模型 2. 乘积型季节性模型 3. 组合模型	
8.2	混合回归模型及疏系数模型	(366)
	1. 一般线性回归模型及参数的线性最小二乘估计	
	2. 混合回归模型 2. 挑选回归变元的近似AIC准则及疏系数模型 4. 实例分析	
8.3	门限回归(自回归)模型	(391)
	1. 门限回归(自回归)模型的定义 2. 门限自回归模型的特性 3. 门限回归(自回归)模型的建立 4. 门限回归(自回归)模型的预报 5. 实例分析	
8.4	双线性模型和指数自回归模型	(411)
	1. 双线性模型 2. 指数自回归模型	
8.5	自适应AR模型	(417)
	1. 自适应AR模型的构造原理 2. 最速下降法及其渐近性质 3. 最小均方差(LMS)自适应算法及其收敛性 4. 自适应模型用于预报	
附录一	富氏变换及其算法	(429)
1.	富氏变换(FT)和离散富氏变换(DFT)	(429)

2.	采样定理	(435)
3.	FT, DFT, FS (富氏级数) 间的关系	(438)
4.	DFT的快速算法—FFT	(442)
5.	两个实序列的同时变换	(448)
6.	相关函数的快速计算	(450)
附录二	时间序列分析与建模程序说明	(455)
1.	随机过程数据产生程序 (DAGENT)	(455)
2.	样本均值和样本方差计算 (SMSV)	(462)
3.	直方图的计算和正态性检验 (PDFH)	(462)
4.	随机数据的独立性检验 (TESTI)	(465)
5.	随机数据中的隐含周期检验 (TESTP)	(468)
6.	多项式的提取 (POLYTR)	(472)
7.	逆序检验 (INORD)	(476)
8.	游程检验 (RUNTES)	(477)
9.	格林函数的计算 (GREENF)	(478)
10.	逆函数的计算 (INF)	(479)
11.	朱利准则 (JURYC)	(480)
12.	理论自相关函数的计算 (AUTOGR)	(481)
13.	偏相关函数的递推计算 (PARCR)	(484)
14.	ARMA谱的计算 (ARMASP)	(485)
15.	样本自相关和互相关的快速计算 (CORELA)	(489)
16.	逆函数法估计模型参数的初值 (INGUS)	(492)
17.	ARMA模型参数的矩估计 (ARMAE)	(495)
18.	模型参数的线性最小二乘估计 (LSME)	(497)
19.	模型参数的麦夸特阻尼最小二乘估计 (MARQT)	(498)
20.	直接法的谱估计 (PMPSD)	(505)

21. 相关函数加窗谱估计(CMPD)	(510)
22. 极大熵谱估计的伯格算法 (MEBURG).....	(513)
23. 预报的逆函数法 (INVERF)	(518)
24. 预报矢量法 (VECTF)	(519)
25. 多变量自回归模型的参数估计(MVAR).....	(521)
26. 混合回归模型及疏系数模型的估计 (SMLR)	(529)
27. 门限回归模型的估计(TREG).....	(533)
28. 双线性模型的估计 (BILIM)	(535)
29. 指数模型的估计 (EXPOM)	(536)
30. 自适应AR模型的估计 (ADAPAR)	(537)
附录三	(542)
1. 标准正态分布的累积分布函数表.....	(542)
2. χ^2 分布表.....	(547)
3. F 分布表.....	(550)
4. 游程检验用 r 分布表.....	(555)
5. 调和分析中显著性费歇 (<i>Fisher</i>) 检验表.....	(558)
附录四 程序文本	(564)
参考资料	(666)

第一章 采样数据的检验 和预处理

在实际问题中，测量记录常常是时间的连续函数，为了数字计算处理上的方便，往往只按一定的时间间隔取值，怎样合理地选择采样间隔，使得采样所得的序列能如实地代表原来的时间序列，这是数据采集首先遇到的一个重要问题。

在得到大量的量测数据之后，还要进行初步的整理和必要的检验，以期去粗取精，为进一步深入分析提供较好的依据和参考。这些工作都属于预处理。

1.1 采样间隔和频率混叠

设记录到的连续时间 t 的函数为 $x(t)$ ($t_0 \leq t \leq t_0 + T$)，这里只讨论在等间隔上取值的时间序列

$$x_1, x_2, \dots, x_i, \dots, x_N \quad (1-1-1)$$

其中 $x_i = x(t_i) = x(t_0 + i\Delta)$ 。

在时间序列 $x(t)$ 的采样过程中，取不同的采样间隔 Δ 可以得到不同的数字时间序列。这种离散的序列抛弃了 $x(t)$ 在 $t_0 + (i-1)\Delta$ 和 $t_0 + i\Delta$ 之间的值，即这部分信息在采样后丧失了。显然， Δ 愈小，(1-1-1)和 $x(t)$ 的差别就愈小，信息损失就愈小。但随着 Δ 的减小，采样和统计处理的数据量 $N = T/\Delta$ 也就愈大，需要的计算机存储单元和计算时间（如建模所需的时间）也就增加了，所以采样间隔不能无限制地减小。

申农 (Shannon) 采样定理 (详见附录—2) 给出了理论的采样时间间隔，规定了能从采样数据复现原来信号所必须的最小

采样频率（或最大采样间隔）。尽管由于很难事先确知时间序列的总体频谱特性，我们还是可以根据经验、直观和实际的物理要求，参照采样定理，在不过分减小信息损失和不过分增加数据量之间作出合理的选择。

在反映时间序列的原有信息方面，有一个频率混叠现象是和 Δ 有直接关系的。问题的提出是：在给定的 Δ 下，离散序列 x_n 的频率分析能不能得出 $x(t)$ 原来具有的频率分量？

以对连续的谐波信号进行等间隔采样为例，可以说明频率混叠现象。图1-1中的实线为原来的连续信号，而虚线是根据采样点连接起来的。

从这个图可以归纳出离散化采样处理所产生的数字时间序列的某些性质：

(1) 如果实际信号频率小于或等于 $1/(2\Delta)$ Hz 即采样频率之半，则由采样点反映的频率和实际信号频率相同。（见图1-1 a, b, c, d）。

(2) 如果实际信号频率较高（图1-1 e, f, g, h, i），则根据采样点来“重建”原来信号时，就会得到比实际频率低的波形（在f和i的情况下，甚至得到的不是正弦波而是直流信号）。

(3) 采样间隔 Δ 确定了频率分析中的最高分辨频率。直观地看，要确定出一个周期所需要的最少信息是三个采样点，即 2Δ 的时间区间，也就是说，以 Δ 为间隔采样时，能够检测出的最短周期为 2Δ 。或者说，能够分辨的最高频率是 $1/(2\Delta)$ 。这个极限频率称之为乃奎斯特(Nyquist)频率。它也等于采样频率 $f_s=1/\Delta$ 的一半。

上述性质可以从正弦信号的周期性得出，设

f_c = 连续信号的真实频率

f_d = 离散化信号的频率

则离散化的采样信号 $\cos 2\pi f_d t$ 可表为

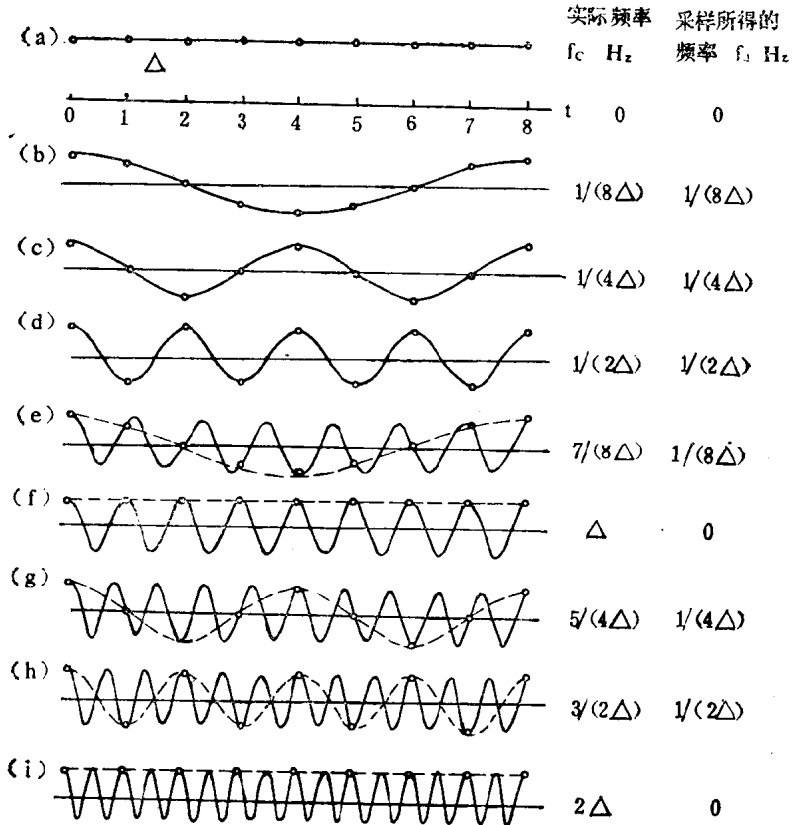


图1-1 正弦信号的频率混叠现象

$$\begin{aligned}
 \cos 2\pi f_c t \Big|_{t=k\Delta} &= \cos 2\pi f_s k\Delta \\
 &= \cos 2\pi (1/\Delta \pm f_s) k\Delta \\
 &= \cos 2\pi (2/\Delta \pm f_s) k\Delta \\
 &= \cos 2\pi (3/\Delta \pm f_s) k\Delta \quad k=0, 1, 2, \dots \\
 &\vdots
 \end{aligned}
 \tag{1-1-2}$$

可见，对于同样的采样信号频率(f_s)，可以有许许多多不同频率(f_c)的连续信号与之对应。例如若 $f_s = \frac{1}{8\Delta}$ ，则可有

$$f_c = \begin{cases} 1/\Delta \pm f_s = \begin{cases} 1/\Delta - 1/(8\Delta) = 7/(8\Delta) \\ 1/\Delta + 1/(8\Delta) = 9/(8\Delta) \end{cases} \\ 2/\Delta \pm f_s = \begin{cases} 2/\Delta - 1/(8\Delta) = 15/(8\Delta) \\ 2/\Delta + 1/(8\Delta) = 17/(8\Delta) \end{cases} \\ \vdots \end{cases} \quad (1-1-3)$$

这意味着，如果采样得到的信号频率为 $f_s = 1/(8\Delta)$ ，我们就难于断定实际信号的频率究竟是 $7/(8\Delta)$ ，还是 $9/(8\Delta)$ ，还是 $15/(8\Delta)$...，反过来说，如果实际信号具有 $f_c = 1/(8\Delta)$ ， $7/(8\Delta)$ 等多种频率成份，那么这些频率成份对于构成离散信号中频率为 $1/(8\Delta)$ 的分量都有贡献。即便实际信号并不存在 $1/(8\Delta)$ 的频率，采样信号仍可有该频率成分存在，因为连续信号中的 $7/(8\Delta)$ 和 $9/(8\Delta)$ ， $15/(8\Delta)$...的频率成分也会在 $f_s = 1/(8\Delta)$ 的采样信号中反映出来。这种在采样数据中不希望有的效应就是“频率混叠”。

$$f_s \Leftrightarrow f_c = n/\Delta \pm f_s \quad n=0, 1, 2, \dots \quad (1-1-4)$$

图1-2表示出 f_c 和 f_s 之间的多值对应关系。可以看出，各个 f_c 均对称于 $1/(2\Delta)$ ， $1/\Delta$ ， $3/(2\Delta)$ ， $2/\Delta$ ，... (即 f_{max} ， $2f_{max}$ ， $3f_{max}$ ，...)，所以这些频率也称折叠频率。

前已指出，靠无限减小 Δ (即增大折叠频率)是不现实的，它也会使出现频率混叠的范围扩大。通常是利用低通滤波处理的方法来解决频率混叠效应。假设低通滤波器是理想的(图1-3a)，则在 $f > f_s$ 以外的频率成分被滤掉了，因此不会在 f_s 范围内引起混叠。不过，实际滤波器频率响应的模是逐渐衰减的(图1-3b)， f_s 以外的信号并没有完全滤掉。通常截止频率 f_c 定义在 $M=0.707$

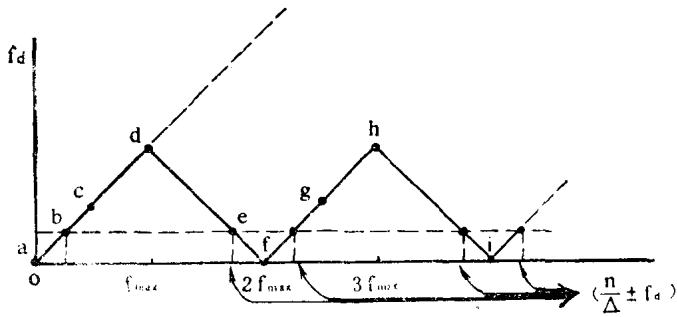


图1-2 连续信号频率与采样信号频率的关系

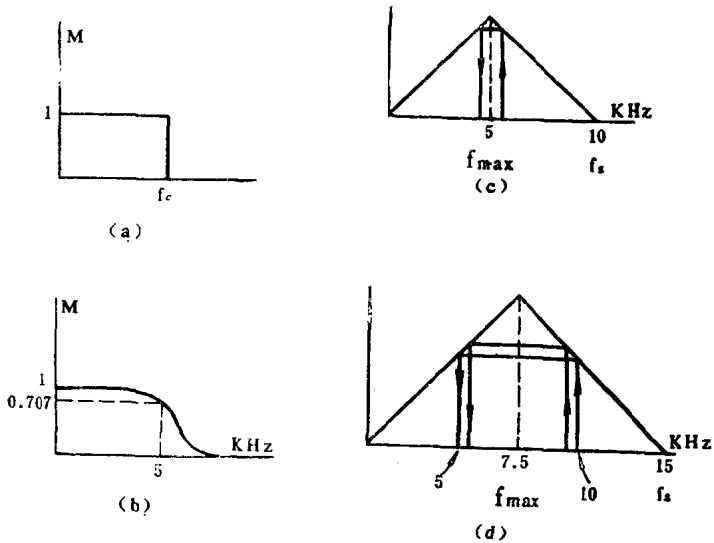


图1-3 滤波器的抗混叠作用

处，而真正被滤掉的频率成分在 $f_s > f_c$ 以外。设图1-3b低通滤波器的标称截止频率为 5kHz ，用它作为抗混叠滤波器，应当取多大的 Δ ？采样频率取为 $f_s = 2 \times 5 = 10\text{kHz}$ （每秒采10000个数据）

行不行？由于高于 5kHz 的频率成分在滤波后依然存在，并反映到 $0\text{--}5\text{kHz}$ 范围中来，因此应当增大采样频率，例如取 $f_s = \frac{1}{\Delta} = 15\text{kHz}$ （即折叠频率为 7.5kHz ，如图 1-3d）。这时，只有高于 10kHz 的频率成分才会反映到 $0\text{--}5\text{kHz}$ 范围内，而大于 10kHz 的成分经滤波器后已被充分衰减了，因此频率混叠效应被大大削弱。

关于采样和频率混叠的重要性质归纳如下：

(1) 能根据采样信号复现原连续信号所必须的最小采样频率应当是 $2f_{\max}$ ，其中 f_{\max} 是原来信号的频率范围，即

$$f_{s, \min} = (1/\Delta)_{\min} = 2f_{\max} \quad (1-1-5)$$

或

$$\Delta \leq 1/(2f_{\max}) \quad (1-1-6)$$

换言之，每周两次的采样频率可以近似得出原来的信号，这实际上就是申农采样定理。当然，如果采样点不在振荡的峰点，要重建这个信号还是有较大的误差，因而实际上以每周 2.5 次的采样速度作为下限。

(2) 如果采样频率为 $1/\Delta$ ，而信号的频率高于 $1/(2\Delta)\text{Hz}$ ，那么会有较低的频率出现在频率分析中，这种现象就是“频率混叠”。

通常的做法是：先选定所感兴趣的最高频率 f_{\max} ，在采样之前，先将信号通过低通滤波器移去高于 f_{\max} 的频率成分，以防止混叠，然后根据采样定理选择适当的 Δ 。

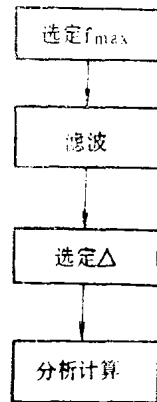


图 1-4 采样间隔的选定

1.2 均值、方差和概率直方图

均值（算术均值）和方差是数据信息的两个最基本的数字特征。由于只能得到有限的随机变量的样本，而不是时间无限长的记录，因此我们要用样本均值和样本方差来对总体参数作估计。对于采样数据，样本均值为

$$m = \bar{x} = \frac{1}{N} \sum_{i=0}^{N-1} x(i) \quad (1-2-1)$$

其中 $x(i)$ 为第 i 个采样值， N 为采样点总数。

无偏的样本方差为

$$s^2 = \frac{1}{N-1} \sum_{i=0}^{N-1} (x(i) - \bar{x})^2 \quad (1-2-2)$$

在统计学参考书中可以找到样本均值和样本方差的性质及其置信区间的讨论。对于时间序列通常所具有的记录长度而言，以上二参数的统计波动较小，因此上述估计不成问题。

如果在 s^2 的表达式中将 $1/(N-1)$ 改为 $1/N$ ，则 s^2 的期望值为 $((N-1)/N)\sigma^2$ ，从而估计是有偏的（这里 σ^2 为总体的方差），但它是渐近无偏的，通常在时间序列分析中用到的 N 至少有100，甚至大到10000，所以用 N 来除所引起的 s^2 的偏差并不显著。

均值和方差的计算在原则上很简单，但在数字计算机上实现有时会存在问题。例如，由离散数据计算样本均值的直接算法公式为

$$\bar{x}_k = \left[\sum_{i=0}^{k-1} x(i) \right] + x(k) \quad k=1, 2, \dots, N-1 \quad (1-2-3)$$

$$\bar{x} = \frac{1}{N} \bar{x}_{N-1}$$